

荻原高寿 正貞 佐野佑房
 " " 清水誠一

1. まえがき

液性限界(LL)測定に、フォールコーン法を用いようとする場合に關係してゐる種々の要素についていろいろの角度からの研究報告がなされてゐる。これら多くの研究は、コーンの貫入速度、容器寸法、落下総重量等の実験装置と試験方法により、互ら影響されること故により良い精度でLLを求めねばならぬとすべきようには出来ないのである。

今まで、取扱上非常に便利で、かつ測定結果に影響のないような必要最小限の容器寸法を知らぬのに、容器の深さ、直径、コーン重量等について一連の研究を行つて来たが、本報告は特にコーン先端角を变化させることにより貫入量にどのような影響が生じるか検討を加えてみたのである。

2. 試料および実験方法

今回使用した試料は表-1に示す種類の市販粘土である。供試体の含水比は4段階に調整し、缶に詰め十分に養生後に復験に用いた。実験に使用した容器の寸法は表-2に示すように、深さを一定(40mm)とし内径を变化させたもの5個と内径を一定(100mm)とし深さを变化させたもの5個との2つの場合に分けて行った。この一定の深さおよび内径の寸法は、コーン先端角90°、落下総重量100grの場合鉛直方向、水平方向の拘束はそれぞれ貫入量の3倍、6倍(1) (2) (3)ぐらいとの報告がなされてゐるのでそれを参考にして決定した。

落下総重量は100gr、コーン先端角は60°, 90°, 120°, 150°の4段階に分けて貫入測定をくりかえした。

3. 試験結果と考察

3.1 容器寸法の影響(その1)

i (深さ)

初めに、それぞれのコーン先端角における必要最小限の容器の深さについて検討してゐる。図-1は深さ52mmの容器での貫入量 I_p を基準として他の貫入量 $I_{p0} \sim I_{p5}$ との比を α として表わしたものである。

この図から判断して、コーン先端角が60°の場合には25mm程度でも十分とみられてさしつかえはないように思へるが、大体コーン先端角が60°, 90°の場合には、他の研究者の報告にもあるように30mm以上であれば十分とみられてよいであろう。しかし、コーン先端角が120°に於ては30mmでは十分とはいへず40mm以上の深さが必要とされる。コーン先端角が150°については40mm程度の深さでも

No	LL	I_p	G_s
F	63.2	35.1	2.591
E	52.0	30.9	2.680
D	328.5	294.3	2.530

表-1 試料土

深さ (mm)	内 径 (mm)				
	40	81	59	53	42
記号	A	B	C	D	E
内径 (mm)	深 さ (mm)				
	100	52	40	30	25
記号	G	H	J	K	L

表-2 容器寸法

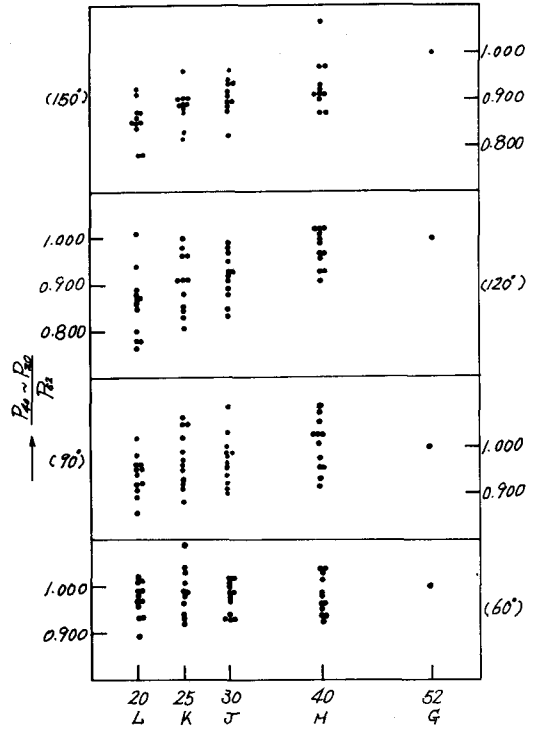
不十分で、より深い容器を用いることが望ましいように思われる。

(ii) (直径)

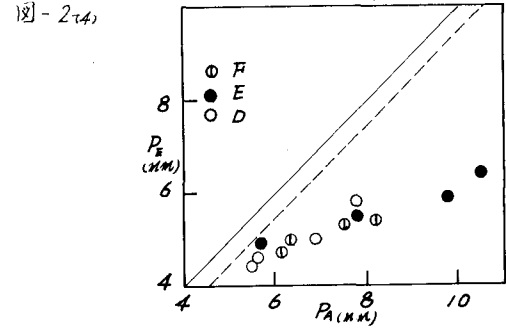
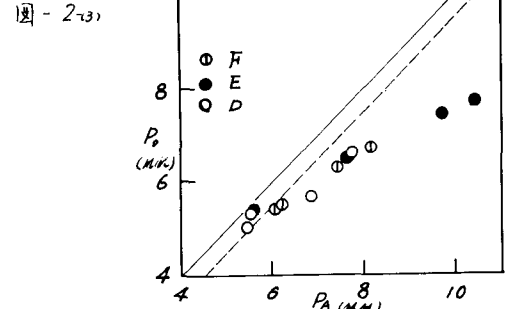
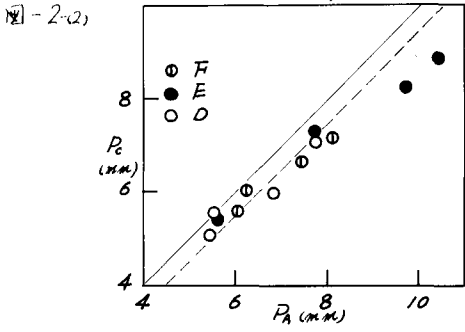
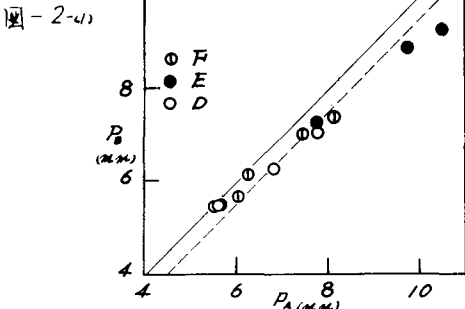
深さの場合と同じように直径の関係を図化して考えてみると、コーン先端角が 60° 、 90° の場合には 59mm 程度であれば十分とみられるが、コーン先端角が 120° 、 150° の場合には 59mm でも不十分でありそれ以上のものが必要とされる。

北郷らの実験報告によるとコーン先端角 90° 、重量 100gr 、深さ 30mm とすると容器の最小直径は $53\text{mm} \sim 60\text{mm}$ の間にあるという結論が得られているようだ。又、筋内・五味の、コーン先端角 60° の場合について行った結果からみても、多少の条件の相違はあるにせよコーン先端角が 60° 、 90° の場合には 60mm 以上あれば影響が小さいという結論を得ることができる。

しかし、コーン先端角が 120° 、 150° については直径、深さいずれの場合もコーン貫入時の塑性破壊域がどの程度の大きさをもつか、又コーン先端角 90° の時の貫入量に対してコーン先端角 120° 、 150° の貫入量がどのくらいあるか等を調べておけるだけ確かにはいえない。



() 内はコーン先端角
 → 容器の深さ (mm)
 図-1 容器寸法の影響



3.2 容器寸法の影響

コーン貫入時に容器寸法によって最小の程度の貫入量(R_c)から拘束をうけるかを直径、深さ K の違い調べのために、同じ含水比における最大容器の貫入量 P_{max} を横軸に、その他の P を縦軸にして測定値をプロットしたものの一部を図-2に示してある。 P が P_{max} より小さい値でめれる容器の大きさによって拘束されているものと対照し、それぞれについて R_c を求めてみるに確度10%値は歴然とは求められず、おおむね表-3のようになる。

容器の直径および深さをそれぞれ D 、 H とし、 $D/H/R_c$ を求めたものを右側に示してあるが、コーン先端角が大きくなるにつれて $D/H/R_c$ が多少レグが大きくなっていくことがわかる。これはコーン先端角が大きくなるほどコーン土中に貫入する時の塑性破壊域も大きくなってゆくと推定される。

		P_c				$D \text{ and } H / P_c$			
		P_{60} (kg/cm ²)	P_{70} (kg/cm ²)	P_{120} (kg/cm ²)	P_{180} (kg/cm ²)	P_{60} (mm)	P_{70} (mm)	P_{120} (mm)	P_{180} (mm)
D	59	13~13.5~14	10~10.5	9.5~10	4.5~5~5.5	4.5~4.4~4.2	5.9~5.6	6.2~5.9	13.1~11.8~10.7
	53	11~11.5~12	8.5~9~9.5	8~8.5	4~4.5~5	4.8~4.5~4.6	6.2~5.9~5.6	6.6~6.2	13.3~11.8~10.6
	42	9.5~10~10.5	7.5~8~8.5	6.5	3.5~4	4.4~4.2~4.0	5.6~5.3~4.0	6.5	12.0~10.5
	30	8~8.5~9	5~5.5~6	4.5~5	2.5~3	3.8~3.5~3.3	6.0~5.5~5.0	6.7~6.0	12.0~10.0
H	40	13.5~14	10.5~11	10~10.5	4.5~5	3.0~2.9	3.8~3.6	4.0~3.8	8.9~8.0
	30	13.5	9.5	7~7.5~8	4~4.5	2.2	3.2	4.3~4.0~3.8	7.5~6.7
	25	13	8~8.5	6~6.5~7	3.5~4	1.9	3.1~2.9	4.2~3.8~3.6	7.1~6.3
	20	11.5	7.5~8	5.5~6	2.5~3	1.7	2.7~2.5	3.6~3.3	8.0~6.7

表-3 R_c および $D/H/R_c$

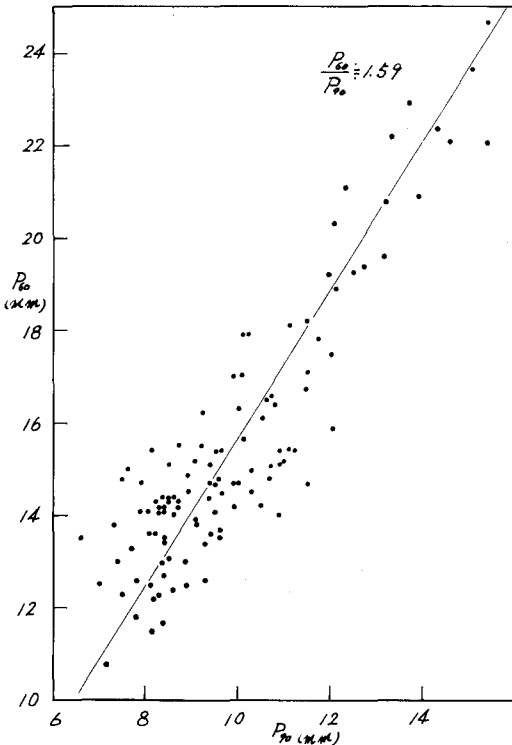


図-3-1)

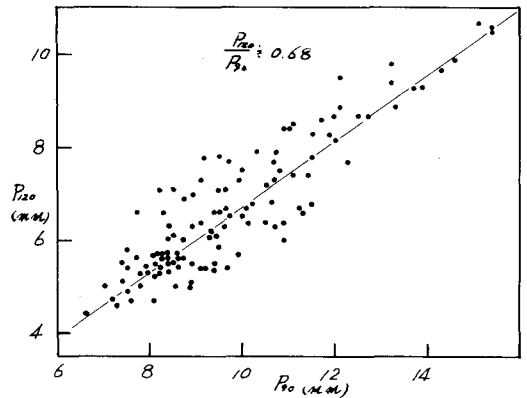


図-3-2)

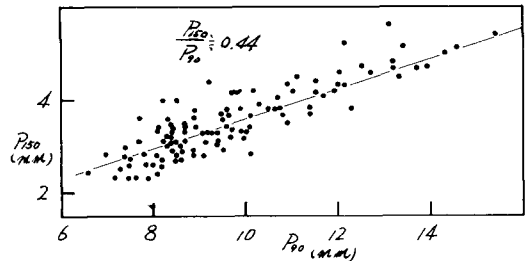


図-3-3)

3.3 コーン先端角と貫入量の関係

コーンが土中に貫入するとき、コーン貫入量と土の強度との間には次式が成立すると考えられる。

$$\sigma = Q / \pi (P \tan \theta)^2$$

ここに P : コーン貫入量 Q : コーン重量 θ : $d/2$ (d : コーン先端角)

σ : 土の支持力強度

60° の場合 $\sigma_0 = Q / \pi (P_0 \tan 30^\circ)^2$ 90° の場合 $\sigma_0 = Q / \pi (P_0 \tan 45^\circ)^2$ とする。

今、 Q は一定であり、 $\sigma_0 = \sigma_0$ とおけば $P_0 / P_0 = 1.73$ の関係が得られる。同様にして P_{20} 、 P_{50} との関係も求めておくと、 $P_{20} / P_0 = 0.58$ 、 $P_{50} / P_0 = 0.27$ とする。これは P_0 に対し P_{20} 、 P_{50} との関係も求めておくと、 $P_{20} / P_0 = 0.58$ 、 $P_{50} / P_0 = 0.27$ 倍の貫入しかはかないことを示す。

図-3はコーン先端角90°の場合の貫入量 P_0 を横軸にとり、コーン先端角60°、120°、150°の場合の貫入量 P_{60} 、 P_{120} 、 P_{150} を縦軸にとって P_0 に対する他の貫入量 P_{60} 、 P_{120} 、 P_{150} の割合を示しているものである。

この図によると $P_{60} / P_0 = 1.59$ 、 $P_{120} / P_0 = 0.68$ 、 $P_{150} / P_0 = 0.44$ となり、上記の値と極端なずれはないようである。

4. まとめ

以上の結果をまとめておくと次のようになる。

- i) L.L. 測定用容器の必要最小限の容器寸法は、コーン先端角が60°、90°の場合にはこれまでも言われて来たように、直径60MM、深さ30MMあれば十分であるが、コーン先端角が120°、150°の場合にはコーン貫入時の塑性破壊域が必ず P_{120} 、 P_{150} の割合から検討し、最大貫入量をそれぞれ9MM、5MM程度におさめるから、両者とも直径60MM、深さ40MMの容器であれば十分と推定される。
- ii) コーン貫入時の塑性破壊域のコーン先端角によるずれが、表-1に示されているようにコーン先端角が大きくなるにつれて広がってゆく。
- iii) コーン先端角が大きくなるほど貫入量は小さくなる。その割合は P_0 を基準にすると P_{60} は1.59倍、 P_{120} は0.68倍、 P_{150} は0.44倍程度である。

5. 参考文献

- 1) 北郷益田佐野: 液性限界測定法に関する実験的研究(第3報) 土と基礎 Vol.15 No.12 1967年12月
- 2) 佐野北郷: コーンによる土の破壊機構について 技術報告資料9号(土質工学会北海道支部) 1967年2月
- 3) 北郷益田: 液性限界測定法に関する実験的研究(第4報) 土と基礎 Vol.17 No.9 1968年9月
- 4) 箭内五味: フォールコーン法で液性限界を求め得るか 土と基礎 Vol.13 No.10 1965年10月
- 5) 佐野: フォールコーンの貫入量と含水比との関係について
技術報告資料10号(土質工学会北海道支部) 1970年2月
- 6) 佐野: フォールコーン重量とコーン貫入量との関係について
第6回土質工学会研究発表会 1971年6月
- 7) 佐野清木: フォールコーンにおける容器深さの影響
第26回土木学会年次学術講演会彙集 1971年10月